

## I

cuando métrica plana

Pitag. siempre local?

K galaxias (métrica) E/B

Espacio tangente

Símbolos Chris.

Trajectories geodésicas,  $\dot{r}^2 = \frac{1}{R^2}$   
cuando  $R \geq r_0$  es geodésica

$K \rightarrow$  aplicds, siglo

Superficie K cte

$T_p(M)$   $\rightarrow$  Base

métrica cilíndrica,

cuadrs geod + solvadu

cuadros unen 2 puntos

$K = \text{cte} \geq 0$  pone siempre

Proyección estereográfica

$$ds^2 = dx^2 + dy^2 + dz^2 = \frac{4R^4 (dx^2 + dy^2)}{(R^2 + u^2 + v^2)^2} = \frac{R^2 (du^2 + dv^2)}{R^2 + u^2 + v^2}$$

$$u = \frac{2R^2 w}{R^2 + u^2 + v^2}, \quad v = \frac{2R^2 z}{R^2 + u^2 + v^2}$$

$$w = \frac{R^2 u}{R^2 + u^2 + v^2}, \quad z = \frac{R^2 v}{R^2 + u^2 + v^2}$$

## II

cuales son kubos

Campo de vectores

áreas, integrales

grupo vnp. transformadas

Volumen invariante  
del plano euclidi  $\frac{dxdydz}{\sqrt{1 - Kx^2}}$

## III

pro equivale, métrica Mink

• Relo general

po cte mantiene

redshift Wavelength

identificar gravitac con geometria  $\tilde{x}_t$

# T. I

Euclides → 5 postulados { 4: homogeneidad e isotropía del espacio, no extensible  
 5: p exterior a recta  $\exists!$  paralela (no se cruza)

! 5 ↳ ! Tales, ! Pitágoras

$$(\alpha + \beta + \gamma) = \pi - CA \rightarrow \text{esfera: } \alpha + \beta + \gamma - \pi = \frac{A}{R^2} \rightarrow \text{hiperbólica: } \alpha + \beta + \gamma - \pi = -\frac{A}{R^2} \quad \begin{cases} R \rightarrow \infty & \alpha + \beta + \gamma = \pi \\ A \rightarrow 0 & \text{euclídea} \end{cases}$$

! Pitágoras  $\angle A \rightarrow +$  aproximado

$$ds^2 = dx^2 + dy^2 \quad (\text{Plano}), \text{ válido } \forall \text{ geometría local} \rightarrow \text{esfera: } \begin{cases} x = r \theta / 2 \\ y = r \phi \end{cases} \quad ?$$

$$= R^2 (ds^2 + \sin^2 \theta d\phi^2)$$

$f(x, y, z) = 0 \rightarrow$  una f. implícita segura q localmente alrededor punto,  
 $\Rightarrow z = f(x, y)$  se puede hacer,  $\nabla f \neq 0$

$$\begin{cases} z = z(u, v) \\ y = y(u, v) \\ x = x(u, v) \end{cases} \rightarrow ds^2 = \sum g_{ij} du^i du^j$$

$$g_{ij} = \frac{\partial \vec{x}}{\partial u^i} \frac{\partial \vec{x}}{\partial u^j}$$

$$\begin{aligned} &\rightarrow \text{esfera (p.s.)} \rightarrow ds^2 = 4(ds_x^2 + ds_y^2) = d\tilde{x}^2 + d\tilde{y}^2 \\ &\rightarrow \text{Cilindro} \rightarrow ds^2 = dz^2 + R^2 d\phi^2 \end{aligned}$$

Curvas, u, v

$\frac{\partial \vec{x}}{\partial u}(u, v) \rightarrow$  Vectors tangentes a la curva, base espacial lineal  
 $\frac{\partial \vec{x}}{\partial v}(u, v)$  bidimensional: plano tangente a la superficie en P dado

Geodésicas

$$L = \int ds = \int \sqrt{g_{ij} \frac{du^i}{d\lambda} \frac{du^j}{d\lambda}} d\lambda \quad u^i(\lambda) \quad \lambda: \text{parámetro}$$

→ extremo,  $\hat{L} \equiv$  Lagrange  $\delta L = 0$

$$L = \frac{1}{2} g_{ij} \frac{du^i}{d\lambda} \frac{du^j}{d\lambda}, \quad g_{ij} \dot{u}^i \dot{u}^j = \text{cte} \rightarrow \frac{d}{d\lambda} \left( \frac{\partial L}{\partial \dot{u}^k} \right) - \frac{\partial L}{\partial u^k} = 0$$

$$\lambda = s \rightarrow \frac{ds}{d\lambda} = 1$$

$$\Rightarrow \frac{d}{ds} \left( g_{ij} \frac{du^i}{ds} \right) - \frac{1}{2} \frac{\partial g_{ij}}{\partial u^k} \frac{du^i}{ds} \frac{du^j}{ds} = 0$$

Ecuas geodésicas  
sobre una superficie

Sistemas de coordenadas localmente cartesianas

$$ds^2|_P = (d\tilde{x}^1)^2 + (d\tilde{x}^2)^2 \quad \forall S \not\models$$

$$\frac{d}{ds} (g_{ij} \dot{u}^i) - \frac{1}{2} \frac{\partial g_{ij}}{\partial u^k} \dot{u}^i \dot{u}^j = 0$$

• Única geodésica  $\tilde{x}(s)$  que pasa por P y  $\tilde{v}$  de vect. tangente

$$\tilde{x}(0) = \tilde{x}_0, \quad \frac{d\tilde{x}}{ds}(0) = \tilde{v}; \text{ varias } \tilde{v} \rightarrow$$
 malla geodésicas

• Si punto cercano a P,  $\exists!$  geodésica que pasa por P y lo alcance

$$\frac{d^2 \tilde{x}^i}{ds^2}(0) = 0 + \text{cc. geod} \Rightarrow \frac{\partial}{\partial \tilde{x}^k} g_{ij}(P) = 0 \rightarrow \text{novedoso!}$$

$\tilde{x}(s)$  siempre en P

$$\text{Taylor: } ds^2 = g_{ij}(\tilde{x}) d\tilde{x}^i d\tilde{x}^j = g_{ij}(\tilde{x}=0) + \frac{1}{2} \frac{\partial g_{ij}}{\partial \tilde{x}^k} \tilde{x}^k (\tilde{x}^k=0) + \frac{1}{2} g_{ij}''(\tilde{x}^k=0) \tilde{x}^k \tilde{x}^j$$

L. curvatura intrínseca

geodésicas = recta cerca de P

$\tilde{g}_{ij}$

Sistema de coordenadas normales de Gauss:

$$ds^2 = (d\tilde{s}^1)^2 + g_{22}(\tilde{s}^1, \tilde{s}^2)(d\tilde{s}^2)^2 \quad \text{con } g_{22}(0, \tilde{s}^2) = 1$$

$$\left\{ \begin{array}{l} g_{ij}(\tilde{x}(s)) = \delta_{ij} \\ \frac{\partial \tilde{x}^j}{\partial s^k}(\tilde{x}(s)) = 0 \end{array} \right. \rightarrow \text{sobre toda la geodésica, no sólo en 1 punto}$$

referencia euclídea  
-//> no a región xq la curvatura

Stá que + se approxima al euclídeo

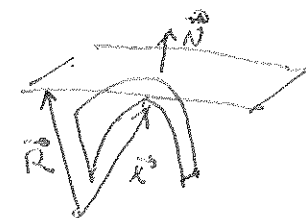
Curvatura extrínseca:

respecto plano tangente

$$\vec{N} = \frac{\partial \tilde{x}}{\partial u^1} \times \frac{\partial \tilde{x}}{\partial u^2} \rightarrow (\tilde{x} - \tilde{x}(p)) \vec{N}(p) = 0$$

$$\tilde{x}(u^k + du^k) = \tilde{x}(u^k) + \dots$$

$$ds \cdot \vec{N} = \frac{1}{2} \frac{\partial^2 \tilde{x}}{\partial u^i \partial u^j} \cdot \vec{N} \cdot du^i du^j$$



$$\text{Curvatura extrínseca } \frac{\partial^2 \tilde{x}}{\partial u^i \partial u^j} \cdot \vec{N} = b_{ij} = b_{ji} \text{ (matriz simétrica)}$$

$$= - \frac{\partial \vec{N}}{\partial u^i} \cdot \frac{\partial \tilde{x}}{\partial u^j}$$

Curvaturas y direcciones principales

$$b_{ij}^c = g^{ik} b_{kj}, \quad g^{ik} = (g^{-1})_{ik}, \quad g^{ik} g_{kj} = \delta^i_j$$

diagonalizable, vectores propios ortogonales (2)

$$b_{ij}^c \cdot \tilde{e}_1^i = k_1 \tilde{e}_1^i$$

$k_1, k_2$  = curvaturas principales,

$$b_{ij}^c \cdot \tilde{e}_2^i = k_2 \tilde{e}_2^i$$

$\tilde{e}_1, \tilde{e}_2$  = direcciones ..

$$\approx \text{cilindro } \begin{pmatrix} 0 & 0 \\ 0 & 1/n \end{pmatrix} \quad \frac{\partial \tilde{x}}{\partial \tilde{z}}, \quad \frac{\partial \tilde{x}}{\partial \phi}$$

$$\approx \text{esfera } \begin{pmatrix} 1/n & 0 \\ 0 & -1/n \end{pmatrix} \rightarrow \text{degenerado!}$$

Símbolos de Christoffel

$$\frac{\partial \tilde{x}}{\partial u^i} = \text{vectores tangentes (base)} \quad \frac{\partial^2 \tilde{x}}{\partial u^i \partial u^j} = \Gamma_{ij}^K \frac{\partial \tilde{x}}{\partial u^K} + b_{ij} \cdot \vec{N}$$

$$\rho_{ij}^K = \rho_{ji}^K$$

$$\rho_{ij}^K \frac{du^i}{ds} \frac{du^j}{ds} + \frac{d^2 u^K}{ds^2} = 0 \rightarrow \text{Ecuas geodésicas}$$

$$\rho_{ij}^K = \frac{1}{2} g^{LK} \left( \frac{\partial g_{ki}}{\partial u^i} + \frac{\partial g_{kj}}{\partial u^i} - \frac{\partial g_{ij}}{\partial u^k} \right)$$

## Curvatura de Gauss

$K = \det g^{ij}(p) \rightarrow$  siempre diagonalizable,  $\det$  invariante bajo cambio base  
 $\rightarrow$  esfera  $K > 0 = 1/R^2$   
 $K = K_1 \cdot K_2$   
 ls. extensos  $\rightarrow$  producto intrínseco

## Tra. egresion

$K$  es intrínseco

$R^K{}_{ij} \rightarrow$  tensor de curvatura de Riemann  $R^K{}_{ij} = \frac{\partial \Gamma^K{}_{ij}}{\partial u^k} - \frac{\partial \Gamma^K{}_{ik}}{\partial u^j} + \Gamma^K{}_{ij} \Gamma^K{}_{kl} - \Gamma^K{}_{il} \Gamma^K{}_{jk}$

$$K = \frac{1}{g} \left[ \frac{\partial^2 g_{12}}{\partial u^1 \partial u^2} - \frac{1}{2} \frac{\partial^2 g_{11}}{\partial u^1 \partial u^2} - \frac{1}{2} \frac{\partial^2 g_{22}}{\partial u^1 \partial u^2} - (\rho_{11} \rho_{22} - \rho_{12} \rho_{12}) g_{11} \right]$$

$\cancel{g_{11} g_{22}}$

$$\text{Si } E = G = \Omega \rightarrow K = -\frac{1}{2\Omega} \nabla_u^2 \ln \Omega$$

universo  $\rightarrow K = \text{cte}$  si hay, ppo. cosmológico; contenido energético curva  
 $\rightarrow K=0$  curvatura tiempo expande universo  
 Significado

- Desviación relativa entre dos geodésicas muy próximas
- Corrección para la longitud de un círculo geodésico infinitesimal  
 $L = 2\pi \left( r - \frac{1}{6} Kr^3 + \dots \right)$

$$\frac{d^2 AL}{ds^2} = -K AL \rightarrow$$
 aceleración relativa entre las geodésicas  $AL(ds^2) = \sqrt{g_{22}(ds^1, ds^2)} dL$

$$K=0 \leftrightarrow \frac{\partial^2}{\partial s^1 \partial s^2} g_{22}=0 \quad (g_{22}(0)=1)$$

$\times$  coordenadas localmente polares  $r, \phi$

$$f(r, \phi) \sim r - \frac{1}{3!} Kr^3 + \dots \quad K = -\frac{f''}{r}$$

$$\begin{aligned} L = f ds &= \int_0^{2\pi} f(r, \phi) \cdot d\phi, \quad A = \dots = \pi r^2 \left( 1 - \frac{1}{12} Kr^2 \right) \\ &\approx \left( 1 - \frac{1}{6} Kr^2 \right) \cdot 2\pi r \end{aligned}$$

## Curvatura constante negativa

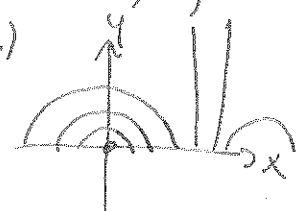
$$ds^2 = \frac{4R^4}{(u^2 + v^2 - R^2)^2} (du^2 + dv^2) \rightarrow K = -\frac{1}{R^2} \leftarrow ds^2 = R^2 (dx^2 + \sinh^2 X d\phi^2)$$

(cambio variables)

$$ds^2 = R^2 \frac{dx^2 + dy^2}{y^2} \quad \text{Modelo del semiplano de Poincaré}$$

$$ds^2 = dx^2 + dy^2 - dz^2 \quad \text{aterr a } y=0 \rightarrow \infty : \text{frontera aparente}$$

No se cumple 5º postulado



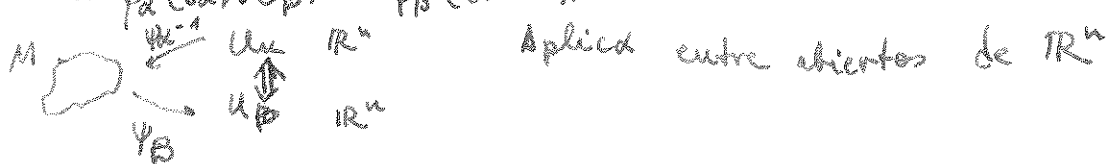
## T. II

Bola abierta  $\mathbb{R}^n \rightarrow \mathbb{R} \times \mathbb{R}^n$  ... radio r centrada en  $y \in \mathbb{R}^n$   $B_r(y) = \{x \in \mathbb{R}^n / |x-y| < r\}$   
 Abierto  $U$  de  $\mathbb{R}^n \rightarrow$  conjunto de  $\mathbb{R}^n$  explicable como unión de bolas abiertas  
 (no necesariamente conexo)

### Variedad diferenciable

Variedad  $n$ -dimensional  $M$ : conjunto de puntos (elementos) y una colección de subconjuntos  $\{\Omega_\alpha\}$  satisfechos:

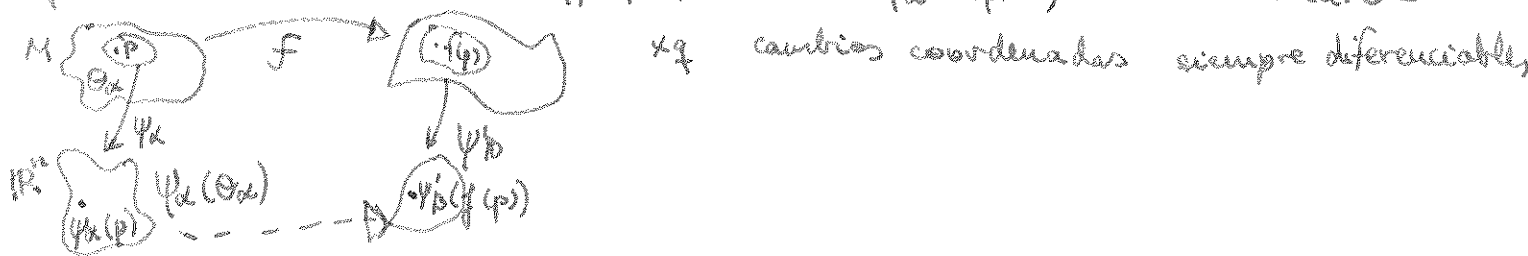
- 1) Si  $P \in M$ ,  $\exists$  al menos un  $\Omega_\alpha$   $\ni P \in \Omega_\alpha \rightarrow M = \bigcup \Omega_\alpha$
- 2) Para cada  $\Omega_\alpha$   $\exists$  aplica biyectiva  $\psi_{\alpha \Omega_\alpha} \rightarrow \psi_\alpha(\Omega_\alpha) \equiv U_\alpha$  (abierto  $\mathbb{R}^n$ )  
 ... otros  $\Omega_\beta$  con  $\Omega_\alpha \cap \Omega_\beta \neq \emptyset \rightarrow \psi_\alpha(\Omega_\alpha \cap \Omega_\beta)$  y  $\psi_\beta(\Omega_\alpha \cap \Omega_\beta)$  son abiertos de  $\mathbb{R}^n$ .
- 3)  $\psi_\alpha \circ \psi_\beta^{-1}$  es diferenciable y tiene inversa difere  $\Rightarrow$  difeomorfismo



- \* si cada par  $(\Omega_\alpha, \psi_\alpha)$  se le denomina carta / stma. de coordenadas
- \* Conjunto de todas las cartas  $\rightarrow$  Atlas (maximal)
- \*  $\mathbb{R}^4, S^1, \dots$ , abiertos

### Aplicaciones diferenciables entre 2 variedades

$f: M \rightarrow M'$  diferenciable en  $P$  si en coord. locales  $(\Omega_\alpha, \psi_\alpha), (\Omega'_\beta, \psi'_\beta)$  define aplic. " en  $\mathbb{R}^n$   $\psi'_\beta f \psi_\alpha^{-1}$  en  $\psi_\alpha^{-1}(P)$ , solución t/carta



### Concepto de vector y espacio tangente

$\frac{\partial}{\partial u_i} \rightarrow$  vectores tangentes, base  $\rightarrow v = \sum v^i \frac{\partial}{\partial u_i}|_P = v^i \left( \frac{\partial}{\partial u_i} \right)_P$   
 $\Rightarrow v^i = v^i \left( \frac{\partial}{\partial u_i} \right)_P \rightarrow$  vect. tang., ~ derivada direccional

Espacio de las derivadas direcionales en  $P \in M$  ( $\equiv T_p(M)$ ) es / espacio de las aplicaciones  $v: F(M) \rightarrow \mathbb{R}$  que verifican  $v(af+bg) = a v(f) + b v(g)$   
 \*  $T_p$  es espacio vectorial real de dim  $T_p(M) = n = \dim(M)$

\* base de  $T_p(M)$ ,  $\left( \frac{\partial}{\partial u_i} \right)_P$  ( $v = v^i \left( \frac{\partial}{\partial u_i} \right)_P = v^i \left( \frac{\partial}{\partial u_i} \right)_P + g(p)v(f)$ )

\*  $(\theta, \psi), f \psi^{-1}: \mathbb{R}^n \rightarrow \mathbb{R}$   $\rightarrow f$  es valor de la derivada  $f'(g(x)) = \frac{dg}{dx}|_P$

n - Derivadas direcionales

$$\hat{v}_\mu(f) = \frac{\partial}{\partial x_\mu} (f \cdot \psi^{-1})|_{\psi(P)} \in \mathbb{R} \quad (\text{depende de } \psi)$$

Vectores tangentes en  $P$  para  $(\theta, \psi)$ ,  $\{x^{\mu}\}$  base  $T_p(M)$ :

$$\vec{e}_\mu = \left( \frac{\partial}{\partial x^\mu} \right)_P = X_\mu$$

$$v = \sum v^\mu X_\mu = v^\mu \left( \frac{\partial}{\partial x^\mu} \right)_P$$

$$\text{Cambio de base: } \left( \frac{\partial}{\partial x^\mu} \right)_P \rightarrow \left( \frac{\partial}{\partial x'^\nu} \right)_P \left( \frac{\partial x'^\nu}{\partial x^\mu} \right)_P \quad \hat{J} \text{ Jacobiano}$$

Respecto a cartes:

$$\text{Base: } X_\mu(f) = \frac{\partial f}{\partial x^\mu} \Big|_{\psi(p)} \in \mathbb{R} \quad \left\{ \begin{array}{l} X_\mu(f) = \frac{\partial f}{\partial x^\mu} \Big|_{\psi(p)} \\ X'^\nu(f) = \frac{\partial f}{\partial x'^\nu} \Big|_{\psi(p)} \in \mathbb{R} \end{array} \right\} \quad \left\{ \begin{array}{l} X_\mu(f) = \frac{\partial f}{\partial x^\mu} \Big|_{\psi(p)} \\ \left( \frac{\partial}{\partial x^\mu} \right)_P = \left( \frac{\partial}{\partial x'^\nu} \right)_P \cdot \left( \frac{\partial x'^\nu}{\partial x^\mu} \right)_P \end{array} \right.$$

Componentes:

$$v^\mu = \left( \frac{\partial x'^\nu}{\partial x^\mu} \right)_P \cdot v^\nu \quad \text{ley contravariante} - \text{componentes vector, covariante}$$

$$\text{Base: } X'_\lambda = \left( \frac{\partial x^\mu}{\partial x'^\lambda} \right)_P X_\mu \quad \text{ley covariante} \quad v = v^\mu X_\mu = v^\nu X'_\nu \quad \text{base vector / comp. vector}$$

$C: I \subset \mathbb{R} \rightarrow M$  curva diferenciable

$$\begin{aligned} & \text{SF}(M) \quad f \cdot C: I \subset \mathbb{R} \rightarrow \mathbb{R}, \text{ vector } T \text{ en } P \rightarrow T(P) = \frac{d}{dt}(f \cdot C)_P \in \mathbb{R} \\ & f \cdot \psi^{-1} = f(x^\mu) \\ & (\psi \cdot C) = x^\mu(t) \quad T(P) = \frac{d}{dt}(f \cdot C) = \left( \frac{dx^\mu}{dt} \right)_P X_\mu(P) = \left( \frac{dx^\mu}{dt} \right)_P \left( \frac{\partial}{\partial x^\mu} \right)_P \end{aligned}$$

Campo de vectores  $v: M$

aplicación que asigña a cada  $p \in M \rightarrow v_p \in T_p(M)$  difiere

$$v = v^\mu(x) \frac{\partial}{\partial x^\mu}; \quad \forall \mu(x) \text{ funciones dif.}$$

$$t \otimes v_i(x) + w_j(x) \underset{\text{def}}{=} v_i(x) + \left( \frac{\partial}{\partial x^\mu} w_j(x) \right)_i$$

Algebra de Lie

2 campos  $\rightarrow$  3<sup>er</sup> campo: comutador

$$v, w \rightarrow [v, w]$$

$$[v, w](f) = v(w(f)) - w(v(f)) = [v, w]^\mu \cdot \frac{\partial}{\partial x^\mu} f \quad \text{dif. campo}$$

• Linealidad

• Antisimetría

$$\bullet \text{Identidad de Jacobi } [v[wz]] + [w[zv]] + [z[vw]] = 0$$

Espacio vectorial con operación  $[ ]$  con propiedades es un álgebra de Lie

Flejos y transformaciones infinitesimales

Flejo = grupo uniparamétrico de difeomorfismos es aplicable:

$$R \times M \rightarrow M$$

$$(t, P) \rightarrow \phi_t(P) \quad \text{tal que} \quad \begin{array}{l} i) t \in \mathbb{R} \text{ fijo } \phi_t: M \rightarrow M \text{ es un difeomorfismo} \\ ii) \phi_s \circ \phi_t = \phi_{t+s} \end{array}$$

• A  $\phi_t$  le asociamos campo de vectores

$P \in M \rightarrow R \rightarrow M, t \rightarrow \phi_t(P)$  una curva en  $M$  (órbita del flejo de  $\phi_t$  por  $P$ )  $t+s = t+s$  aditivo vector tangente a la curva  $v_P$ , variando  $P$  en  $M \rightarrow$  generamos campo de vectores en  $M$  llamado generador infinitesimal del flejo

de révés :

Dado  $v$  en  $M$  → reconstruir flujo cuyo generador inf. es  $v$  local

$\frac{dx^u}{dt} = v^u(x^1, \dots, x^n)$  s.e. dif. 1<sup>er</sup> orde n integraal

Ej. celda (unida) por  $x_0^*(t=0)$  y  $\frac{dx^*}{dt}\Big|_{t=0} = v^*(x_0^*)$

$$\text{fluido } (I \subseteq \mathbb{R}) \times U \rightarrow U \\ (t, x_0^{\mu}) \rightarrow x^{\mu}(t, x_0^{\mu}) \quad U \Rightarrow \frac{dx^{\mu}}{dt} = v^{\mu}$$

si  $I \ni R \rightarrow v$  es un campo completo

$$\text{Mecánica analítica} \hat{=} v = \frac{\partial H}{\partial p_i} \frac{\partial}{\partial q_i} - \frac{\partial H}{\partial q_i} \frac{\partial}{\partial p_i} \rightarrow \frac{dq^i}{dt} = \frac{\partial H}{\partial p_i} \rightarrow q^i = q^i(t, \dots) \\ c. \text{ vectores en espaciofísico} \quad \frac{dp_i}{dt} = -\frac{\partial H}{\partial q^i} \rightarrow p_i = p_i(t, \dots) \\ \text{ flujo} = \text{ev. temporal} \quad \begin{matrix} \downarrow \\ \text{generador} \\ \text{infinitesimal} \end{matrix}$$

## TENSORES

Covector (tensor 1 - covariante)

$$t: T_p(M) \xrightarrow{\sim} \mathbb{R}$$

$$v \mapsto t(v) = t\left(v^a \frac{\partial}{\partial x^a}\right)_p = v^a t\left(\frac{\partial}{\partial x^a}\right)_p = v^a t_a$$

$$t^{\mu} = \left( \frac{\partial x^{\mu}}{\partial x^{\nu}} \right)_p t_{\nu} \quad \text{ley covariante} \quad \text{bases} \quad \rightarrow \text{depe de la dirección (base)}$$

espacio de covectores  $\rightarrow$  espacio dual  $T_p^*(M)$        $\dim T_p = \dim T_p^*$

• Diferencial de una función

$$df(p) : T_p(M) \xrightarrow{\sim} \mathbb{R}$$

$$\omega \mapsto df(p)(\omega) = \omega_p(f) = \omega \cdot \left( \frac{\partial}{\partial x_i} u \right)_p (f \cdot \Psi^{-1})$$

$$df(p) = \left( \frac{\partial f}{\partial x^u} \right)_p \cdot dx^u \quad \rightarrow$$

components      "vector, ... base

$$\text{Base para } T_p(M) : \left( \frac{\partial}{\partial x^a} \right)_p \text{ duales}$$

$$dx^\mu(p) \left( \frac{\partial}{\partial x^\nu} \right)_p = \delta^\mu_\nu$$

Tensor 2 - covariante Spield bilineal

$$T_p(M) \times T_p(M) \rightarrow \mathbb{R}$$

$$(v, w) \rightarrow t(v, w) = v^u w^v t\left(\left(\frac{\partial}{\partial x^u}\right)_p, \left(\frac{\partial}{\partial x^v}\right)_p\right) = v^u w^v t_{uv}$$

$$t^{i\alpha p} = \left( \frac{\partial x^i}{\partial x^{\alpha p}} \right)_P \left( \frac{\partial x^\alpha}{\partial x^{iB}} \right)_P t_{Bp}$$

general vectors  
cavectors

Tensor  $r$ -contravariante y  $s$ -covariante aplicado multilinear

$$t: T_p^* \times T_p^* \dots \times T_p^* \times T_0(M) \times \dots \times T_p(M) \rightarrow \mathbb{R}$$

$$t(dx^{\mu_1}(p), \dots, dx^{\mu_r}(p), \frac{\partial}{\partial x^{\nu_1}})_p, \dots, \frac{\partial}{\partial x^{\nu_s}})_o = t^{\mu_1 \dots \mu_r}_{\nu_1 \nu_2 \dots \nu_s}$$

$$\frac{\partial f^{(m)} \dots f^{(1)}}{\partial x^{(n)} \dots x^{(1)}} = \left( \frac{\partial f^{(m)}}{\partial x^{(n)}} \right)_p \dots \left( \frac{\partial f^{(m)}}{\partial x^{(n)}} \right)_p \left( \frac{\partial x^{(n)}}{\partial x^{(n-1)}} \right)_p \dots \left( \frac{\partial x^{(n)}}{\partial x^{(1)}} \right)_p t^{(m-1) \dots n}$$

Espacio de leísores  $T_p^{ms}(M)$

$$T_p^{0,1}(M) \equiv T_p^*(M)$$

$T_p^{1,0}(M) \equiv T_p \otimes (M)$  isomorfo a  $T_p(M)$  canónico  $\Leftrightarrow$  no usa base  
bidual  
 $\alpha \otimes (x) = x(\alpha)$

Vectores  $|v\rangle$

Colectores  $\langle \phi |$

### Operaciones

• Suma (K covariante)  $t_1^{\mu_1 \dots \mu_r} + f_1^{\mu_1 \dots \mu_r} = h^{\mu_1 \dots \mu_r}$ ,  $t + f = h$

• Multiplicación escalar  $\lambda \cdot t^{\mu_1 \dots \mu_r} = (\lambda t)^{\mu_1 \dots \mu_r}$

• Producto tensorial

$$(t_1, v_1) \rightarrow t_1(v_1) \cdot t_2(v_2) \quad (t_1 \otimes t_2)_{\mu\nu} = (t_1)_\mu (t_2)_\nu$$

$$t^{\mu_1 \dots \mu_r}_{v_1 \dots v_s} \otimes f^{\nu_1 \dots \nu_r}_{k_1 \dots k_s} = (t \otimes f)_{v_1 \dots v_s k_1 \dots k_r}^{\mu_1 \dots \mu_r \nu_1 \dots \nu_r}$$

• Contracción (componente i-dual con j-vectorial)

$$q_t = \sum_i ( \dots , \partial x^\sigma(p), \dots , \frac{\partial}{\partial x^\sigma}(p), \dots ) ; \quad ct^{\mu_1 \dots \mu_{i-1} \sigma \mu_{i+1} \dots \mu_r}_{v_1 \dots v_{j-1} \sigma v_{j+1} \dots v_s}$$

$$t^{\mu_1 \dots \mu_r}_{v_1 \dots v_s} \xrightarrow{j} t^{\mu_1 \dots \mu_r}_{v_1 \dots v_s} \text{ arriba y abajo!}$$

$$\delta_{jk}^i = f_{ik}^j$$

(o r sumado, no libre)

### Tensores simétricos y antisimétricos

• Simétricos  $t_{i_1 \dots i_s} = t_i \circ_{(1)} i \circ_{(2)} \dots \circ_{(s)}$   $\sigma \in$  cualquier permutación de s  
ellos se repiten

NO mezclar arriba y abajo, siempre del mismo nivel

• Antisimétricos  $t_{i_1 \dots i_s} = \pi^{\text{par}}(\sigma) t_{\sigma(i_1) \dots \sigma(i_s)}$  verificar ley

Tensores antisimétricos covariantes  $[T_p^{0,s} + \text{autos}] = \Lambda_p^s(M)$

$\Lambda_p^0 \cong \mathbb{R} \rightarrow$  escalares

$\Lambda_p^1(M) \cong T_p^*(M) \rightarrow$  covariantes } si par

$\dim \Lambda_p^n(M) \rightarrow \dim = \dim(M)$

$\dim \Lambda_p^{s+n} = 0$

$$\dim \Lambda_p^s(M) = \binom{n}{s}$$

$$\begin{pmatrix} 1 \\ n \\ \vdots \\ n \\ 0 \end{pmatrix}$$

$$\rightarrow t_{ij_1 \dots j_n} = \epsilon_{i j_1 \dots j_n} t_{12 \dots n} \quad \text{Símbolo de Levi-Civita: } \begin{cases} +1 & \text{si par} \\ -1 & \text{si impar} \\ 0 & \text{si repiten} \end{cases}$$

$$\rightarrow t_{ij_1 \dots j_n} = \det \left( \frac{\partial x^i}{\partial x^j} \right) t_{12 \dots n}$$

$$\rightarrow \epsilon_{i j_1 \dots j_n} = \frac{1}{\det \left( \frac{\partial x^i}{\partial x^j} \right)} \frac{\partial x^i}{\partial x^1} \dots \frac{\partial x^i}{\partial x^n} \epsilon_{12 \dots n} \rightarrow \text{no ley tensorial usual}$$

Encontrar: densidad tensorial

$$\left( \det \left( \frac{\partial x^i}{\partial x^j} \right) \right)^{-1} \text{ de peso } w = -1$$

### Tensor métrico

• covariante simétrico

$T_p \times T_p \rightarrow \mathbb{R}$

$(v, w) \rightarrow g(v, w) = v \cdot w \equiv$  producto escalar vectores  $v$  y  $w$

$\rightarrow g_{\mu\nu} = g_{\nu\mu}$  simétrico

i) no degenerado  $g(v, w) = 0 \Leftrightarrow v = 0 \Leftrightarrow \det g_{\mu\nu} \neq 0$

ii) Siempre  $\exists$  base ortonormal  $\tilde{e}_\mu = (\tilde{e}_\mu)_p$ ,  $g(\tilde{e}_\mu, \tilde{e}_\nu) = \delta_{\mu\nu}$

iii) Signatura métrica  $(n^+, n^-)$  :  $(n, 0) \rightarrow$  Riemannianas ;  $(n, 1) \rightarrow$  Lorentzianas

que no degenerado  $\rightarrow$  aplicó biyectiva entre espacios duales (8)

$$T_p(M) \leftrightarrow T_p^*(M)$$

$$v \leftrightarrow g(v, v)$$

$$g(\cdot, v) : T_p(M) \rightarrow \mathbb{R}$$

$$w \mapsto g(w, v)$$

$$v = v^\mu \left( \frac{\partial}{\partial x^\mu} \right)_p \rightarrow g(\cdot, v) = v^\mu dx^\mu$$

l. isomorf y no canónico  
x que sea métrica

$$[ \nabla_\mu = g_{\mu\nu} \partial^\nu ]$$

$$\exists \text{ inversa métrica } \rightarrow [ v^\mu = g^{\mu\nu} v_\nu ]$$

+ dif

\* Relación de tensores cov. antis.

$$g' = \left\{ \det \left( \frac{\partial X^i}{\partial X^j} \right) \right\}^{-1} g$$

$$\sqrt{g'} = \left| \det \left\{ \frac{\partial X^i}{\partial X^j} \right\} \right| \sqrt{g} \rightarrow \text{extraer volumen invariante}$$

$$\text{II: } \det \left( \frac{\partial X^i}{\partial x^j} \right)_{1 \leq i \leq n} \text{ única componente independiente en el tensor de dim } n, \text{ resto } 0$$

### Campos de tensores

aplicó  $g$  asigna tensor  $t$  a cada punto  $P \in M$  es campo tensorial

$$t = t^{i_1 \dots i_r}_{j_1 \dots j_s}(x) dx^{i_1} \otimes \dots \otimes dx^{i_r} \otimes \frac{\partial}{\partial x^{j_1}} \dots \otimes \frac{\partial}{\partial x^{j_s}}$$

L. Componentes del campo tensorial

$$ds^2 = g_{ij}(x) dx^i \otimes dx^j$$

\* Una forma diferencial  $\alpha$  es un campo de tensores covariante antisimétrico

$$\text{local: } \alpha = \alpha_{i_1 \dots i_s}(x) dx^{i_1} \otimes dx^{i_2} \otimes \dots \otimes dx^{i_s}, \quad 0 \leq s \leq n$$

\* Producto exterior:

$$- dx^i \wedge dx^j = dx^i \otimes dx^j - dx^j \otimes dx^i$$

$$- dx^{i_1} \wedge \dots \wedge dx^{i_s} = \sum \pi(x) dx^{i_1} \wedge \dots \wedge dx^{i_s},$$

$$\alpha = \frac{1}{s!} \alpha_{i_1 \dots i_s}(x) dx^{i_1} \wedge \dots \wedge dx^{i_s}$$

$$\beta = \frac{1}{r!} \dots$$

$$\alpha \wedge \beta = \frac{1}{r+s} \alpha_{i_1 \dots i_s}(x) \beta_{j_1 \dots j_r}(x) dx^{i_1} \wedge \dots \wedge dx^{i_s} \wedge dx^{j_1} \wedge \dots \wedge dx^{j_r}$$

$$\star \alpha \wedge \beta = (-)^{r+s} \beta \wedge \alpha \quad \text{anticomutativa graduada}$$

$$\star (\alpha \wedge \beta) \wedge \gamma = \alpha \wedge (\beta \wedge \gamma) \quad \text{asociativa}$$

### Diferencial exterior

$$0\text{-forma} \xrightarrow{\text{d}} \text{función } f(x) \xrightarrow{\text{d}} df = \frac{\partial f}{\partial x^i} dx^i = \text{dif } f : dx^i \rightarrow \frac{\partial x^i}{\partial x^j} \cdot dj \quad (\text{diferencial vectorial})$$

$$1\text{-forma} \xrightarrow{\text{d}} \frac{d}{dx^i} dx^i(x) = \frac{d}{dx^i} dx^i \quad \text{parte antisimétrica}$$

$$\frac{d}{dx^i} dx^j(x) \xrightarrow{\text{d}} (s+1) \frac{d}{dx^i} dx_{i+1 \dots i+s} = (dd^c) dx_{i+1 \dots i+s} = \frac{1}{s!} \sum \pi(x) dx_{i_1 \dots i_s}$$

$$(d(d^c))_C \text{ fun. cs} = 0 \quad P.a.s.(D) = 0$$

$$\star d \text{ es cerrada si } dd^c = 0$$

$$\star d \text{ es exacta si } \exists \beta / d\beta = d\beta$$

$$\star Si d \text{ es exacta } \rightarrow d \text{ es cerrado, al revés no en general}$$

T. 3Relatividad especial

Einstein 1905

- Constancia velocidad luz ( $c$ ) indep. emisor / -> receptor
- Equivalencia entre s. ref. inerciales M Rel Univ. (pp. relatividad) P.R. Galileo  
(Mecánica)
- \* factor Doppler  $K = \sqrt{\frac{c+v}{c-v}}$  [foton:  $-p\mu$ ]

$\xrightarrow{\text{dilat. temporal}} \Delta t' = \sqrt{1 - \frac{v^2}{c^2}} \Delta t_0 \quad \nabla v_{\text{foton con}}$

$\xrightarrow{\text{dilat. espacial}} d' = c \frac{v}{c+v} t + ; K^2(t) = ct^2 + 2vt$   $E = p\mu = k u^1$   
 $\therefore p^\mu = \left( \frac{k u^0}{c}, u^1, u^2, u^3 \right)$

- \* Simultaneidad relativa (f.t.)
- \* Contracción de longitud  $L' = \sqrt{1 - \frac{v^2}{c^2}} L$

x Tr. Lorentz

$$t' = \frac{t - \frac{vx}{c^2}}{\sqrt{1 - \frac{v^2}{c^2}}}$$

$$x' = \frac{x - vt}{\sqrt{1 - \frac{v^2}{c^2}}}$$

$$\begin{matrix} y' \\ z' \end{matrix} = \begin{matrix} y \\ z \end{matrix}$$

- \* Momento y energía relativistas

Conservado si  $\vec{p}^2 = \gamma m^2$ ,  $E = \gamma mc^2$ 

+

Principio de equivalencia (1907)

- \* fallas ~~Mercurio perihelio~~  $\rightarrow$  corregir R. esp.; a partir  $\frac{GM}{r^2} = g$  para todos los bks un pequeño sistema de referé en caída libre equivale a un s. de referencia inercial en un universo libre de gravedad
- \* pequeño xq obvias aceler. relativ.

- $\Rightarrow$  deflexión luz en campo gravitatorio

$$\square \stackrel{\uparrow g}{=} \square \stackrel{\uparrow g}{=} \square$$

- $\Rightarrow$  red-shift

$$v_2' = (1 + \frac{v}{c}) v_1 = v_1 (1 + \frac{g}{c^2}) = v_1 (1 + \frac{g_1 - g_2}{c^2}) > v_1$$

- \* dilat. Temporal  $\frac{1}{c^2} dt = dt_0$

$$dt_2 = dt \left( 1 + \frac{g(x)}{c^2} \right) \quad t \rightarrow g_\infty = 0 \quad \Rightarrow \text{lento en c. grav.}$$

$$dt = \left( 1 - \frac{GM}{c^2 r} \right) dt_0 \quad \Rightarrow \frac{dr}{dt} = c (1 - \frac{GM}{c^2 r}) \rightarrow \text{Fermat}$$

- \* Predicción 1912 deflexión:

$$\frac{4g}{c^2 D} \rightarrow \text{incorrecto}$$

- \*  $S = -mc^2 / \sqrt{1 - \frac{v^2}{c^2}} dt \rightarrow c(r) \rightarrow$  3<sup>er</sup> orden órbitas elípticas + corrección  $\rightarrow$  precesión perihelio  $\rightarrow$  cantos incompletos

- $\Rightarrow$  intuye q modificar

- \* EM q potenciales?

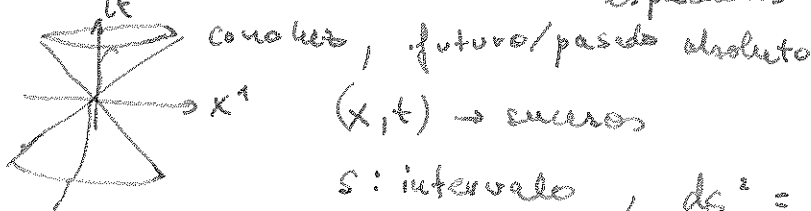
- \* Minkowski espacio-tiempo 4D

- \* Tradición matemática geométrica  $\hookrightarrow$  Riemann

## Espacio-tiempo de Minkowski

$$ds^2 = -c^2 dt^2 + dx_i^2 \rightarrow \text{Invariante bajo Tr. Lorentz}$$

$$g_{\mu\nu} = \begin{pmatrix} -1 & & & \\ & 1 & & \\ & & 1 & \\ & & & 1 \end{pmatrix} \rightarrow \begin{array}{l} \text{Vectores temporales} \\ \text{nulos} \\ \text{espaciales} \end{array} \quad \begin{array}{l} < 0 \\ = 0 \\ > 0 \end{array} \quad \begin{array}{l} (\Delta^0, 0, 0, 0) \\ (0, k^0, 0, 0) \\ (0, \dots) \end{array}$$



$$s: \text{intervalo}, ds^2 = -c^2 d\tau^2$$

$\tau$ : tiempo propio ( $\text{m} \neq dx = 0$ )  $\rightarrow$  mides longitud segmento

$$\text{Tetravelocidad } u^\mu = \frac{dx^\mu}{d\tau} = \gamma(c, \vec{v}), \vec{v} = \frac{dx}{dt} \quad \|u\|^2 = c^2 \rightarrow \text{vector temporal}$$

$$\text{Tetraimpuls } p^\mu = mu^\mu = \left( \frac{\epsilon}{c}, \vec{p} \right)$$

$$\text{Ecuas movim: } \frac{d\vec{p}}{dt} \rightarrow \vec{F}, \frac{dp^\mu}{dt} = \tau^\mu$$

$$\text{Tetrafuerza } F^\mu = \gamma \left( \frac{\vec{p} \cdot \vec{v}}{c}, \vec{F} \right)$$

## Gravedad es geometría

$\times$  Velocidad efectiva  $c(r)$   $\rightarrow$  caídas libres y caídas incaídas

$$ds^2 = -c^2 dt^2 + dx^2 \rightarrow c(r) \rightarrow \text{metriza variable}$$

$\times$  Gravedad 'física', f. fuerzas  $\rightarrow$  geometría

Generalizar, en lugar de verter c, interpretar como varia multilo

$$ds^2 = g_{\mu\nu} (dx^\mu)^2 + (dx^\nu)^2 \rightarrow \text{desarrollar en serie } g_{\mu\nu}. \quad 1^{\text{er}} \text{ orden es Mink.}$$

$$g_{00} \approx -1 + \dots$$

$\times$  Ms. varian espacio, ms R. E conectados!  $\rightarrow$  general:  $ds^2 = g_{\mu\nu}(x) dx^\mu dx^\nu$

$g_{\mu\nu} \rightarrow$  Minkowski

tr. o sobre campo

$\phi \rightarrow$  Gravedad Newton  $\rightarrow$  Ecu. Poisson

$(A^a = \phi, B^a) \rightarrow$  EM  $\rightarrow$  Ecu. Maxwell

$g_{\mu\nu}(x)$  Gravedad Einstein  $\rightarrow$  Ecu?

$$\frac{\partial}{\partial t} \left( g_{00} \frac{x^2}{c^2} \right) - \frac{1}{2} \frac{\partial g_{00} x^2}{\partial x} \frac{1}{c^2} \frac{\partial x}{\partial t}$$

## Geodésicas temporales y nulas

$$S = -mc \int f(ds) \rightarrow \delta S = 0 \rightarrow \text{Geodésicas, } S = -mc \int \left( g_{\mu\nu} \frac{dx^\mu}{dt} \frac{dx^\nu}{dt} \right) dt$$

$$\frac{d}{dt} \left( \frac{\partial L}{\partial \dot{x}^\mu} \right) - \frac{\partial L}{\partial x^\mu}, r = -g_{\mu\nu} x^\mu \frac{dx^\nu}{dt} = 0 \Rightarrow \frac{dx^\mu}{dt} \text{ vector temporal}$$

Curva cuya vector tangente sea temporal  $\rightarrow$  curva temporal

$$cte = 0 \rightarrow \frac{d}{dt} \left( g_{\mu\nu} \frac{dx^\mu}{dt} \right) - \frac{1}{2} \frac{\partial g_{\mu\nu}}{\partial x^\lambda} \frac{dx^\mu}{dt} \frac{dx^\lambda}{dt} = 0$$

$$cte > 0 > c^2 \rightarrow \exists x_0 \text{ con } \rho = c \rightarrow \text{t.p. propio}$$

Geodésicas, nulas

$\rightarrow$  trayectorias rectas de luz

Geodésicas temporales

$\rightarrow$  trayectorias partículas masivas

Grav. distorsiona métrica Minkowski

$\bar{g}_{\mu\nu} = g_{\mu\nu} + \text{correcciones}$

→ geodésica de ref.  $\bar{g}_{\mu\nu}, \frac{\partial}{\partial x^\mu} = 0, \exists^2$  ya no si  $k \neq 0$   
temporal

lo que  $\bar{g}_{\mu\nu} = g_{\mu\nu}, \frac{\partial}{\partial x^\mu} \rightarrow$  ... geodésicas normales de Riemann  
lo pequeño laboratorio

Siempre cambia coord / nula gravedad 3 geod.

lo es en el q se monta experimentador 2  
tamaño grande → se aprecia gravedad, aceleración relativa - fuerzas residuales

Fuerzas de marea y curvatura

2 partículas → 3 aceleraciones relativas

$$\text{Newton } \frac{d^2}{dt^2} = -\partial^0 \partial_j \phi \delta x^j \quad \frac{\partial^2 \phi}{\partial x^0 \partial k} = \frac{GM}{r^3} (\delta_{kj} - \frac{3x^k x^j}{r^2})$$

↳ Hessiano del potencial

$$\left( \begin{matrix} 1 & -2 \\ -2 & 0 \end{matrix} \right) \rightarrow 0$$

mantis fraca o, se deforma manteniendo el volumen  
la aceleración relativa entre geodésicas próximas viene caracterizada por  
el tensor de curvatura de Riemann.  $R^M_{\lambda\mu\rho}$

$$R^M_{\lambda\mu\rho} = R_{\lambda\mu}{}^P \rightarrow \text{Tensor de Ricci}$$

Ecuas de Einstein curvado:  $R_{\mu\nu} = 0 \rightarrow$  incógnita: métrica

$$\delta x^\mu \frac{d^2}{dt^2} = R^M_{\lambda\mu\rho} \delta x^\lambda \frac{dx^\rho}{dt} \frac{dx^\mu}{dt} \rightarrow \text{aceleración relativa}$$

! covariante

↓ soluciones

Geometría exterior a una estrella esférica

$R_{\mu\nu} = 0$ , ec. Einstein en vacío, simétrica, sol. no en'ante

$$ds^2 = -\left(1 - \frac{r_s}{r}\right)c^2 dt^2 + \frac{dr^2}{1 - \frac{r_s}{r}} + r^2 d\Omega^2 \quad \begin{array}{l} \text{Métrica de Schwarzschild} \\ \text{sim. esférica} \end{array}$$

• estacionaria  $\frac{\partial g_{\mu\nu}}{\partial t} = 0$

•  $ds = \sqrt{1 - \frac{r_s}{r}}$   $\approx r_s - r$  si  $r_s \ll r$ , bala esférica  $\rightarrow 2\pi r^2 \sqrt{r_s}$

$$g_{\theta\theta} = -\left(1 + \frac{2\phi}{c^2}\right) \rightarrow \forall r, \text{ no límite}$$

• folla en  $r = r_s$

Planetas → geod. temp.

Luz → geod. rulos

$$S = -mc \int \sqrt{-g_{\mu\nu} dx^\mu dx^\nu} = -mc \int dt \sqrt{(1 - \frac{r_s}{r})c^2(\frac{dt}{dr})^2 + \dots} \rightarrow \text{bajar } \Theta = \pi/2$$

↳ 2 coordenadas cónicas  $\theta, t \rightarrow$  2 estrelas móviles → simetría + estacionaria

$$\frac{\partial L}{\partial(\frac{dr}{dt})} = 0 \rightarrow +\frac{1}{2} \left(1 - \frac{2r_s}{c^2 r}\right) \times \frac{dt}{dr} = +\frac{c^2}{r^2} \quad \text{señal}$$

$$\frac{\partial L}{\partial(\frac{d\theta}{dt})} = 0 \rightarrow L = m + \frac{2d\theta}{dr}$$

$$\left(\frac{ds}{dr}\right)^2 = -c^2 = -\left(1 - \frac{r_s}{r}\right)^2 c^2 + \left(\frac{dr}{dt}\right)^2 + r^2 \left(\frac{d\theta}{dt}\right)^2$$

## Movimiento de rayos de luz (geodésicas nulas)

$$Z \rightarrow \lambda, u = \frac{1}{r} \quad \text{luz } K=0$$

$$\text{En general: } u'' + u = \frac{GM}{c^2} K + \frac{3GM}{c^2} u^2 \quad \text{Planeta } u=1$$

PRO EQUIV.

R. GENERAL

NEWTON ( $c \rightarrow \infty$ )

$$P \quad u'' + u = \frac{GM}{c^2 r^2} \quad u'' + u = \frac{GM}{c^2} \quad u'' + u = \frac{GM}{c^2} \quad \text{a pre-perihelio}$$

$$L \quad u'' + u = \frac{GM}{c^2 r^2} \quad u'' + u = \frac{3GM}{c^2} u^2 \quad u'' + u = 0 \quad \text{La deflexión}$$

## Planetas

$$u = \frac{1}{r} = \frac{GM}{c^2} (1 + \epsilon \cos \phi) \quad \epsilon: \text{excentricidad}$$

$$\approx \frac{GM}{c^2} (1 + \epsilon \cos((1-\beta)\phi)) \quad p = \frac{36\pi M^2}{c^2 \epsilon^2} \ll 1$$

$\phi = 0 \rightarrow$  caso elíptico

$\beta \neq 0 \rightarrow \phi = 2\pi \rightarrow r \gtrsim 1, > \phi/r =$

$$\Rightarrow (1-\beta)(2\pi + \delta \phi_{\text{pre}}) = 1 \rightarrow \text{órbita no cerrada} \quad \delta \phi_{\text{pre}} \approx \frac{24\pi^3 a^2}{c^2 + \epsilon(1-\epsilon^2)}$$

Mercúrio ( $\delta \phi / \text{siglo}$ ) ~~A~~

## Luz

$$u \approx \frac{\sin \phi}{r} + \frac{GM}{c^2 r^2} (1 + \cos \phi + \cos^2 \phi)$$

$$\rightarrow \Delta \phi_{\text{rel}} \frac{4GM}{c^2 r} \approx 1,75'' \quad (r=D) \rightarrow \text{Eddington} \quad 1919 \star$$

## Redshift gravitacional

$$v_2 = v_1 \sqrt{\frac{1 - \frac{r_2}{r_1}}{1 - \frac{r_1}{r_2}}} \approx v_1 \left(1 + \frac{\phi_1 - \phi_2}{c^2}\right) \quad \text{1960 Harvard} \\ \text{relojes atómicos}$$

## Agujeros negros 1926:

- paradoja manas blancas (densas y frías)  $\rightarrow$  Sol  $\rightarrow \rho \approx 1$
- ¿corta autocolapso?  $\rightarrow$  Einst?
- 1926 Fowler: presión degenerada electrónica (Pauli) contrarresta gravedad (no relativista)
- 1930 Chandrasekhar  $\rightarrow 0,6c e^- \rightarrow$  efectos relativistas
- comportamiento crítico, límite María ( $\rightarrow$  ya no estable)

$M_c \approx 1,4M_{\odot}$  manas blancas,  $M < M_c$   $\rightarrow$  Eddington

~~Si  $M > M_c$ , al perder T (agota combustible), colapsa,  $e^- + p \rightarrow n + \gamma$~~

— conversión a estrella de neutrones

→ 1938 Oppenheimer - Volkoff  $\rightarrow$  presión de degeneración de neutrones  $\rightarrow$  se obliga a dilat. General

$\times P$  grande  $\rightarrow$  cerca y relleno,  $p < 0 \rightarrow$  el colapso nuclear es estable si  $M_{\text{cr}} \approx 3M_{\odot}$

$M < M_{\text{cr}}$   $\rightarrow$   $M_c$   $\rightarrow$   $\star$

Here we: manas blanca  $\rightarrow$  estrella n  $\rightarrow$  explosión (pres.  $\propto n$ )

• 1939 Oppenheimer - Snyder  $M \geq 3M_\odot$   $\rightarrow$  modelo de agujero negro

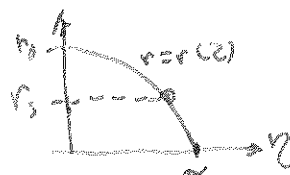
$p=0$ ,  $\rho \propto r^{-5}$ , exterior

$\rightarrow$  exterior  $\rightarrow$  métrica Schwarzschild

• geodésicas radiales

$$\left(\frac{dr}{d\tau}\right)^2 = -c^2 \left(1 - \frac{r_s}{r}\right) + c^2 \left(1 - \frac{r_s}{r_0}\right) = c^2 r_s \left(\frac{1}{r} - \frac{1}{r_0}\right)$$

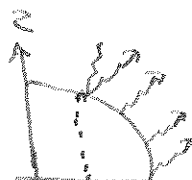
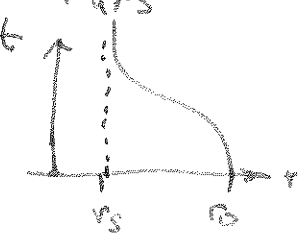
$$r = r_s (1 + \cos \eta) \quad c^2 = \sqrt{\frac{r_0^3}{r_s}} (\eta + \sin \eta)$$



$$z = \frac{c}{\epsilon} \sqrt{r_0 t} \pi$$

$\rho$  diverges

$\rightarrow r(t) \rightarrow \infty$



red shift, free-fall  
 $\lambda \approx \lambda_0$  inverso

$$t \alpha^{-\alpha} \rightarrow z \text{ fijo}$$

$$r \alpha^{-\alpha} \rightarrow r'$$

• métrica Schw. falla  
problema de coordenadas

Horizontes y singularidades

métrica singular, engañosa, ir a escalera  $\rightarrow R_{\text{curv}} a R^{4/3} = \frac{16 \pi G}{c^3}$   
no hay divergencia en la curvatura en  $r=r_s$ , en  $r \neq r_s$  si  $\rho \neq 0$ .

• otros sistemas coordinados basados en calda sobre radial observador

$$\frac{dr}{dt} = -c \sqrt{\frac{r_s}{r}}, \quad dz = dt + f(r) dr$$

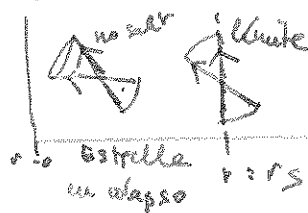
$$\frac{dr}{dt} = \frac{1}{1 - \frac{r_s}{r}} \quad \rightarrow \quad dt_p = dt + \frac{\sqrt{\frac{r_s}{r}}}{c(1 - \frac{r_s}{r})} dr$$

$$ds^2 = -(1 - \frac{r_s}{r}) c^2 dt_p^2 + 2c \sqrt{\frac{r_s}{r}} d\theta dr + dr^2 + r^2 d\Omega^2$$

Métrica de Schw. en las coordenadas de Painleve - Gullstrand (1929)  
 $t^P$  se anula en  $r=r_s$  no diag., no deg.

$\rightarrow$  No entrar en  $r=r_s$ , ya no puede salir más  
agujero negro

Cuando  $r < r_s \rightarrow$  temp.  $dr/dt_p < 0 \rightarrow dr < 0 \rightarrow$  imposible salir  
gravit. inclina como una



obligado a  $t=0$ , redshift diverge, estrella aislada

lo en modelos anisótropos

Weller 1965 'black hole'

radii efecto túnel  $\sim T \propto \frac{1}{r} < 3K$ , dura + q traga  $\rightarrow$  estable